



بررسی سنگ نگاری و شیمی کانی‌ها در آپلیت-پگماتیت‌های دره سیمین (جنوب همدان)

علی اصغر سپاهی گرو^{*}، صدیقه سلامی، محمد معانی جو

دانشگاه بولاقی سینا، دانشکده علوم، گروه زمین‌شناسی

(دریافت مقاله: ۹۸/۳/۱۲، نسخه نهایی: ۹۷/۱۲/۱)

چکیده: دایک‌های آپلیتی-پگماتیتی موجود در جنوب شرقی همدان، در منطقه سیمین از لبه به سمت مرکز دو منطقه بافتی ویژه دارند که به خوبی اثر پیشرفت بلور را در این دایک‌ها نشان می‌دهند: ۱- منطقه حاشیه با ساختهای ناهمسان شامل واحدهای دانه‌ریز، هم رشدی گرافیکی و ساختهای انجاماد یک جهته و ۲- منطقه داخلی با ساختهای توده‌ای و درشت بلور. تجزیه‌های ریزپردازشی برای کانی‌های تورمالین، پلازیوکلاز و فلدسپار پتاسیم انجام شد. تورمالین‌ها دارای ترکیب شورلیت هستند. در نمودار Fe# (FeO/(FeO+MgO)) نسبت به MgO که خاستگاه تورمالین‌ها را مشخص می‌کند، تورمالین‌های مورد بررسی دارای Fe# بین ۰/۸ تا ۱ هستند که نشان دهنده تشکیل آنها در یک سیستم ماگمایی و دخالت نداشتن سیال‌های خارجی در تشکیل آنهاست. ترکیب پلازیوکلاز‌های مورد بررسی غنی از آلبیت (Ab₉₀₋₁₀₀) بوده و فلدسپارهای پتاسیم نیز دارای ۹۲-۹۷ درصد فلدسپار پتاسیم هستند. این امر نشان دهنده پیشرفت بلور جدایشی در ماگمای وابسته است. منطقه بندی موجود در تورمالین‌های مورد بررسی هم در مقاطع نازک و هم در تجزیه‌های شیمیایی به خوبی مشهود است. در فلدسپارهای مورد بررسی، مقدار نسبتاً بالای Rb (۱۳۱۹ ppm) و همچنین Cs (۲۰۵ ppm) نشان دهنده درجه جدایش بالا در ماگمای وابسته است.

واژه‌های کلیدی: آپلیت، پگماتیت، بلور جدایشی، منطقه بندی، سیمین، پنهانی سنندج-سیرجان.

پگماتیتی را ندارند و ترکیب سیال‌های موجود در این لایه‌های مرزی فقط آب نیست. Al و Si در مایعات غنی از مواد فرار و قلیایی‌ها بسیار محلول هستند، اما حلایت آن‌ها در سیال‌های تنها آبدار کم است. پژوهشگرانی [۵-۳] مدل پالایش پنهانه ساختاری را ارائه کردند که بر اساس آن عامل تشکیل پگماتیت‌ها، لایه‌های مرزی غنی از مواد فرار (B, P, H, F) هستند که در مذاب گرانیتی با گرانیوی بالا تشکیل شده‌اند. آنها همچنین پژوهش‌های گستره‌ای پیرامون ساختهای موجود در آپلیت-پگماتیت‌ها انجام دادند. دایک‌های آپلیت-پگماتیتی موجود در منطقه سیمین از نظر ساختهای و کانی‌های رایج در آپلیت-پگماتیت‌ها، بسیار ویژه و قبل توجه هستند. از جمله پژوهش‌های انجام شده در منطقه می‌توان به بررسی

مقدمه

از دیرباز، زمین‌شناسان پیرامون شرایط تشکیل پگماتیت‌ها اختلاف نظر داشته‌اند. بیش از یک قرن سنگ‌شناسان از جمله جائز [۱] معتقد بودند که مذاب‌های تشکیل دهنده‌ی پگماتیت‌ها غنی از عناصر فرار (B, P, F) بوده و در نتیجه دارای گرانیوی پایینی هستند. طی کارهای آزمایشگاهی مشترکی که جانز با بارنهام انجام داد [۲] نظرش تغییر کرد و به این نتیجه رسید که اغلب پگماتیت‌ها بسیار هستند و گرانیوی مذاب تشکیل دهنده‌ی پگماتیت‌ها بسیار بالاست. در پژوهش‌های بعدی مشخص شد که حلایت Al و Si در محلول‌های آبدار پایین است و سیال‌های غنی از آب توانایی حل کردن و تأمین مواد مورد نیاز برای رشد بلورهای

نمودارهای لازم با نرم افزارهای Resonetics S-155-LR رایانه‌ای AX و Mincalculation رسم و تفسیر شدن.

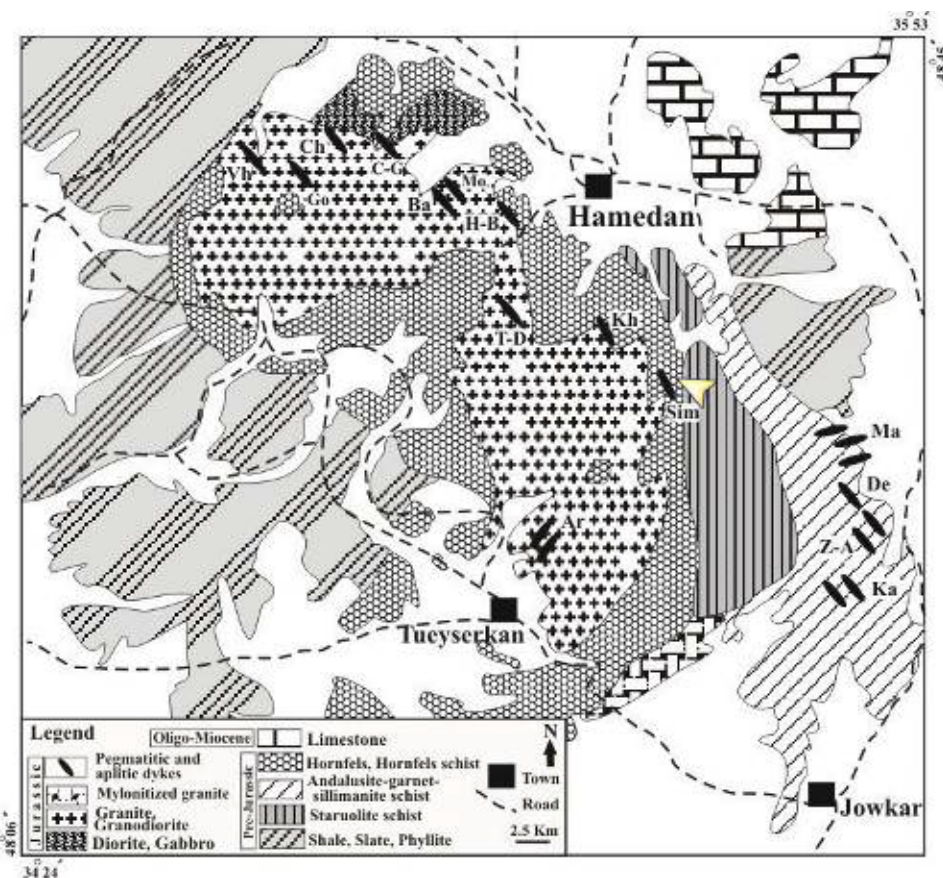
جایگاه جغرافیایی و زمین‌شناسی

منطقه مورد بررسی در ۱۵ کیلومتری جنوب شرقی همدان قرار دارد راههای ارتباطی به منطقه مورد نظر جاده فقیره، ابرو-سیمین است (شکل ۱) [۱۱]. این منطقه در گستره طول‌های جغرافیایی $31^{\circ} 48^{\prime}$ تا $33^{\circ} 48^{\prime}$ شرقی و عرض‌های جغرافیایی $34^{\circ} 37^{\prime}$ تا $34^{\circ} 40^{\prime}$ شمالی قرار دارد. در پهنه‌بندی ساختاری ایران، این منطقه بخشی از پهنه سندنج-سیرجان به حساب می‌آید. از نظر برخی پژوهشگران [۱۲]، منطقه همدان در زیرپهنه با دگرشکلی پیچیده پهنه سندنج-سیرجان قرار دارد و دستخوش چندین دگرگونی ناحیه‌ای و مجاورتی شده است. در این منطقه، رخنمونهایی از سنگ‌های دگرگونی ناحیه‌ای، مجاورتی، میگماتیتها و سنگ‌های نفوذی دیده می‌شود. سنگ‌های نفوذی موجود در منطقه شامل گابرو، دیوریت، تونالیت، گرانودیوریت، گرانیت، آپلیت و پگماتیت است. بیرون‌زدگی‌های آپلیت-پگماتیت‌های منطقه اغلب منظم و به صورت دایک‌هایی با روند شمال‌غربی-جنوب‌شرقی هستند که سنگ‌های میزبان آذرین نفوذی و دگرگونی را قطع کرده‌اند. میزبان این دایک‌ها در منطقه سیمین (جنوب شرق همدان) سنگ‌های دگرگونی با درجه متوسط تا بالا شامل آندالوزیت شیستها، کردیریت هورنفلس و میگماتیتها هستند. شواهد پهنه‌ی بشی در منطقه مورد نظر به خوبی مشهود است. ایزدی کیان و همکاران [۱۳] نیز شواهد پهنه بشی را در گستره منطقه سیمین تا دره مرادیگ بررسی کرده است و منطقه مورد نظر را پهنه بشی سیمین-دره مراد بیگ نامیده‌اند. در میگماتیتها منطقه مانند سایر سنگ‌های دگرگونی، تنوع کانی‌شناسی بسیاری دیده می‌شود و کانی‌های شاخص دگرگونی مانند گارنت، آندالوزیت، سیلیمانیت، گاهی کیانیت، استارولیت، کردیریت و اسپینل به همراه میکاها، کوارتز و فلدسپار در آنها یافت می‌شوند. بر اساس سن‌سنگی انجام شده به روش U-Pb یکی زیرکن موجود در میگماتیتها منطقه [۱۴]، سن دگرگونی این میگماتیتها ژوراسیک میانی (Ma ۱۶۰-۱۸۰) به دست آمد.

بافت سنگ‌های دگرگونی ناحیه‌ای شرق باتولیت همدان توسط فرهپور [۶] اشاره کرد؛ جعفری [۷] به سنگ‌شناسی سنگ‌های منطقه جنوب سیمین پرداخت. مولاوی یگانه [۸] عوامل کنترل کننده‌ی توزیع نامنظم کیانیت در سنگ‌های دگرگونی و آذرین نفوذی منطقه همدان را بررسی کرد. ایزدی کیان [۹] تحلیل ساختاری و سنگ‌بافتی سنگ‌های دگرگونی کوهستان الوند را انجام داد و سپاهی و همکاران [۱۰] نیز زمین شیمی تورمالین‌های موجود در دایک‌های آپلیتی-پگماتیتی الوند و سنگ‌های دگرگونی منطقه همدان را بررسی کردند. پژوهش‌های پیشین در منطقه بیشتر پیرامون سنگ‌های دگرگونی بوده و دایک‌های آپلیتی-پگماتیتی موجود در منطقه کمتر مورد توجه بوده است. از این رو در این پژوهش ساختهای موجود در این آپلیت-پگماتیتها و شیمی کانی‌های وابسته و خاستگاه آنها به دقت بررسی می‌شود.

روش پژوهش

طی بررسی‌های صحراوی، حدود ۱۰۰ نمونه دستی از انواع (دگرگونی و آذرین) سنگ‌های موجود در منطقه برداشت شد که از بین آنها ۲۰ نمونه جهت تهیه مقطع نازک و بررسی میکروسکوپی انتخاب شدند. به منظور بررسی شیمی کانی‌های موجود در آپلیت-پگماتیتها منطقه، تجزیه ریز پردازشی برای پنج مقطع نازک صیقلی انجام شد که به طور کلی کانی‌های تورمالین (۲۳ نقطه) و فلدسپار (۲۲ نقطه) بررسی شدند. از این تعداد، ۱۰ نقطه تورمالین و ۸ نقطه فلدسپار توسط شرکت فرآوری مواد معدنی کرج با ریزپردازشگر نقطه‌ای مدل SX100 Cameca فرانسه در شرایط ولتاژ kV ۱۵، فشار 4×10^{-7} torr و جریان 20 nA تجزیه شد. به منظور تعیین مقدار عناصر فرعی و کمیاب در کانی‌ها نیز تعداد ۲ مقطع نازک صیقلی با ضخامت $30 \mu\text{m}$ به دانشگاه نیوبرونزویک کانادا فرستاده شد، که ۱۳ نقطه تورمالین و ۱۴ نقطه فلدسپار به روش طیف سنجی جرمی پلاسمای جفت شده القایی سایش لیزری (LA-ICP-MS) بررسی شد. در این آزمایش‌ها، عنصر Si به عنوان عنصر پایه در نظر گرفته شد و بقیه عناصر نسبت به آن سنجیده شدند و بنابر این غلظت این عنصر در تجزیه‌ها منظور نشده است. توسط دستگاه مدل ۷۷۰۰x Agilent Guardrupole مجهر به یک دستگاه لیزر برانگیخته پار مدل



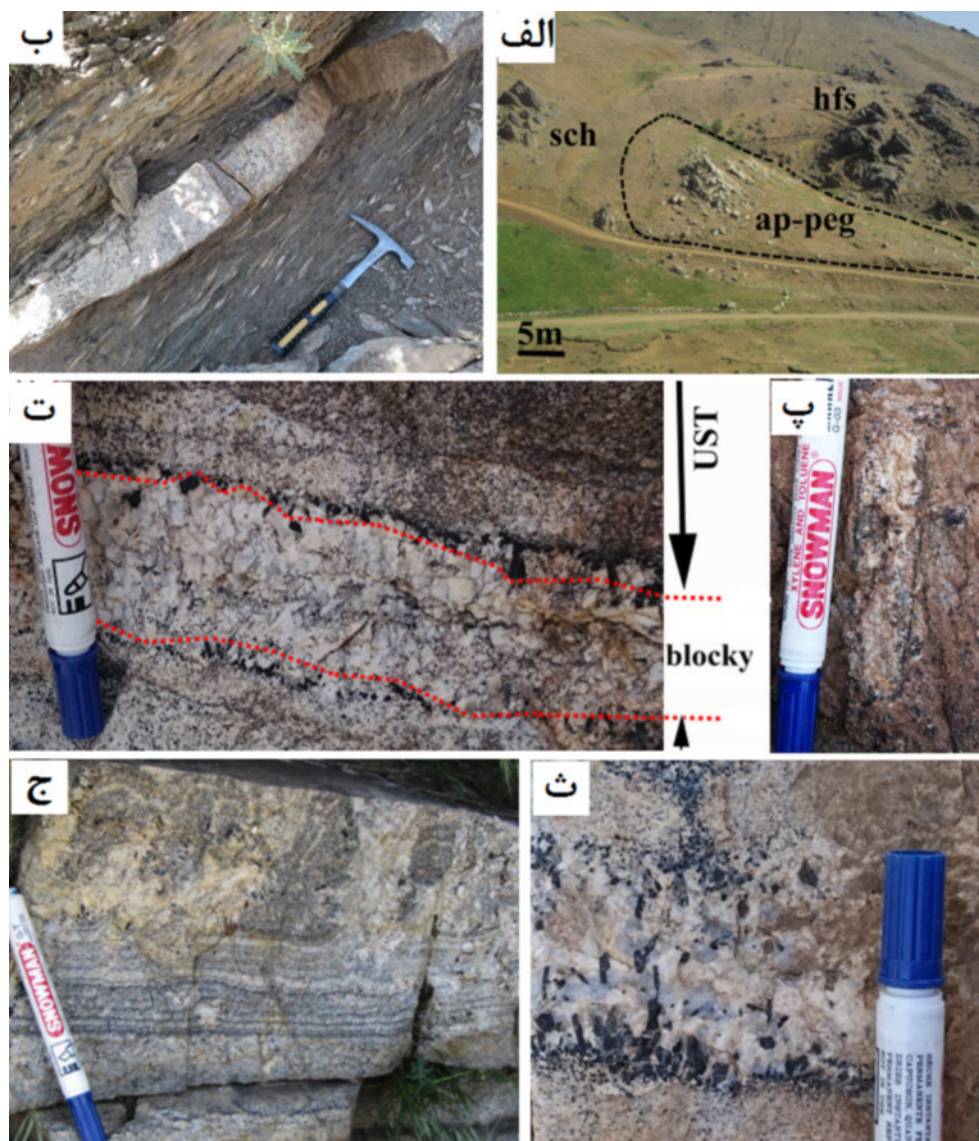
شکل ۱ نقشه زمین‌شناسی منطقه‌ی همدان و جایگاه آپلیت-پگماتیت‌های مورد بررسی بر آن، جایگاه منطقه مورد بررسی با پیکان مشخص شده است (برگرفته از نقشه زمین‌شناسی ۱:۲۵۰۰۰ سازمان زمین‌شناسی کشور [۱۱] با تغییرات). علائم اختصاری عبارتند از: Ka: کمری، Z-A: زمان‌آباد، De: دهنو، Ma: منگاوی، Ar: آرتیمان، Sim: سیمین، Kh: حیدره بالاشهر، Mo: موئیجین، Ba: برفجین، G: چشم‌ه قصابان، Ch: چایان، Go: گوشلان و Vh: وهنان.

اند (شکل ۲ پ). علت تشکیل کیانیت در پورفیروبلاست‌های آندالوزیت می‌تواند تنفس ایجاد شده در پهنه‌های برشی باشد، زیرا در خارج از پهنه‌های برشی، این تغییرات در پورفیروبلاست‌های آندالوزیت دیده نمی‌شود. تشکیل سیلیمانیت نیز مربوط به افزایش دما در منطقه است. آندالوزیت‌های سیگموئیدی (S شکل) موجود در شیسته‌های حاشیه نیز شواهد پهنه برشی را نشان می‌دهند (شکل ۲ ب). مهم‌ترین سنگ‌های آذرین موجود در منطقه شامل دایک‌های آپلیتی-پگماتیتی هستند که در راستای شیستوارگی سنگ-های میزبان نفوذ کرده‌اند و از نظر راستای نفوذ بسیار منظم و دارای راستای NW-SSE هستند. این دایک‌ها شامل کانی‌های کوارتز، میکروکلین، فلدسپار پتاسیم پرتیتی، پلازیوکلاز و گارنت هستند. پگماتیت‌های این منطقه از آنجا که ساخت نواری دارند، دارای تناوبی از لایه‌های غنی از تورمالین و مسکوویت هستند. تورمالین‌های موجود دارای حلقه‌های منطقه بندی کاملاً مشخصی هستند که در قسمت‌های داخلی بیشتر

سنگ‌نگاری

سنگ‌های منطقه به دو دسته‌ی سنگ‌های دگرگونی و آذرین تقسیم می‌شوند. در این منطقه شواهد دو فاز دگرگونی ناحیه‌ای و مجاورتی کاملاً مشهود است. در سنگ‌های دگرگونی ناحیه‌ای، در پی تزریق توده‌های نفوذی، دگرگونی مجاورتی نیز رخ داده است. به عبارت دیگر، دستخوش دو فاز دگرگونی (نخست دگرگونی ناحیه‌ای و سپس دگرگونی مجاورتی) شده‌اند. از سنگ‌های دگرگونی مجاورتی انواع هورنفلس (شکل ۲ الف) و از نمونه‌های دگرگونی ناحیه‌ای میگماتیت‌ها، و شیست‌ها (شکل ۲ ب) را می‌توان نام برد. در برخی از این میگماتیت‌ها نوارهای تیره و روشن به خوبی قابل تشخیص است. همچنین در آنها آثار لایه‌بندی اولیه بر جای مانده از سنگ مادر به آشکارا دیده می‌شود. در این میگماتیت‌ها، قالب‌های آندالوزیت که با کیانیت و سیلیمانیت پر شده‌اند وجود دارند و پیرامون این بلورهای درشت کیانیتی و سیلیمانیتی شده، ریز بلورهای تورمالین در اثر انتشار بور از دایک‌های آپلیت-پگماتیتی موجود رشد کرده-

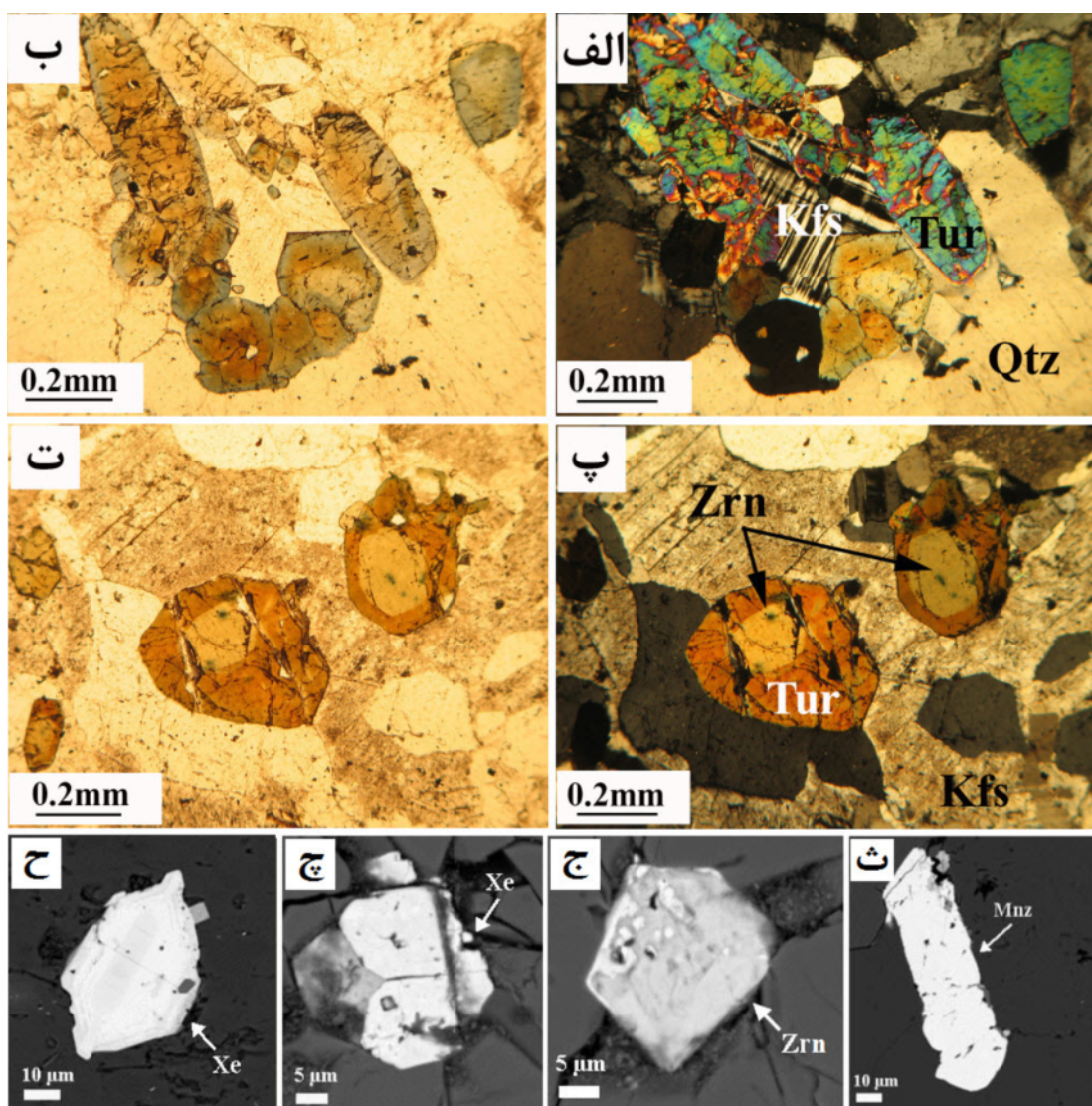
سطح میغان تشکیل می‌شوند. در پهنه خارجی پگماتیت‌ها، به علت گرانزوی بالای ماقما، رشد رو به داخل جبهه‌های بلور به مراتب سریع‌تر از انتشار جانبی آنهاست و در نتیجه رشد بلور کاملاً در راستای مذاب باقی مانده است [۱۵]. ۲- در پهنه داخلی پگماتیت‌ها، ساختهای دانه درشت و انباشت توده‌ای کانی‌ها دیده می‌شود. ایجاد این درشت بلورها ناشی از انباشت مواد فرار در مایعات لایه‌های مرزی تشکیل شده در جبهه‌های رشد بلوری و در نتیجه افزایش انتشار عنصر کم سرعت چون Si و Al، در این لایه‌های با گرانزوی پایین است [۱۵].



شکل ۲ تصاویر صحرایی منطقه سیمین: (الف) تنوع واحدهای سنگی در منطقه سیمین شامل شیست، میگماتیت و دایک‌های آپلیت-پگماتیتی، (ب) شواهد پهنه برشی در منطقه آندالوزیت‌های موجود در شیستهای لبه حالت سیگموئیدی (S شکل) نشان می‌دهند، (پ) انباشت تورمالین در لبه آندالوزیت‌های سیلیمانیتی شده، (ت) ساختهای از لبه به سمت مرکز (UST) و ساخت توده‌ای (blocky) (blocky) در مرکز دایک‌های موجود در منطقه، (ث) رشد تورمالین‌ها بصورت عمود بر دیواره در لبه آپلیت، (ج) ساخت آپلیت نواری در لبه آپلیت-پگماتیت‌ها.

Sch=شیست، hfs=هورنفلس، ap-peg=آپلیت-پگماتیت، UST=نمای سیگموئیدی.

چند رنگی قهقهه‌ای و در قسمت‌های خارجی چند رنگی آبی دارند (شکل‌های ۳ الف تا ت). بلورهای تورمالین بیشتر دارای میان‌بارهای زیرکن، مونازیت و زینوتیم هستند (شکل‌های ۳ ث تا ح). به طور کلی، این دایک‌ها دارای دو گستره‌ی ساختی هستند (شکل ۲ ت): ۱- ساختهای ناهمسان مربوط به پهنه خارجی شامل ساختهای انجماد تک جهته، رشد بلورها به صورت عمود بر دیواره (شکل ۲ ث)، واحدهای دانه‌ریز شامل آپلیت‌های توده‌ای و نواری (شکل ۲ ج)، هم‌رشدی گرافیکی که این ساختها از مذاب‌های فوق اشباع و گرانزوی در شرایط زیر



شکل ۳ (الف تا ت) تصاویر مقاطع میکروسکوپی از دایک‌های آپلیتی-پگماتیتی مورد بررسی: (الف و ب) تورمالین‌های دارای منطقه بندی، (پ و ت) تورمالین‌های دارای منطقه بندی و میان‌بار زیرکن. (تصاویر الف و پ در نور PPL و تصاویر ب و ت در نور XPL). (ث تا ح) تصاویر الکترونی پس پراکنده کانی‌های مونازیت، زیرکن و زینوتیم موجود در آپلیت-پگماتیت‌های منطقه سیمین. (Zrn=Mونازیت، Tur=زیرکن و Xe=Xینوتیم).

اساس مقادیر Ca، Na⁺ (K)، X-vac و نقسان یا تهیجای X (Ca, Na⁺, K, X-vac) به سه گروه تورمالین‌های کلسیمی، قلیایی و انواع با تهیجای X، تقسیم کرده‌اند [۱۶] (شکل ۴ الف). بر اساس این رده‌بندی، تورمالین‌های مورد بررسی در گستره‌ی قلیایی قرار دارند که این امر نشانگر بالا بودن مقدار Na و K موجود در جایگاه X در مقایسه با مقدار Ca و کمبود جایگاه موردنظر است. تورمالین‌های قلیایی بیشتر در شرایط اسیدی و دمای پایین تشکیل می‌شوند [۱۷، ۱۸]. برای بررسی تغییرات ترکیب در نسبت‌های Ca, Na, Mg, Fe و تشخیص نوع تورمالین‌ها از نمودارهای Mg/(Mg+Fe) و X-vac/(X-vac+Na) نسبت به

شیمی کانی‌ها

به منظور بررسی شیمی برخی از کانی‌های موجود در آپلیت‌ها و پگماتیت‌های مورد نظر، کانی‌های تورمالین، پلاژیوکالاز و فلدسپار پتسیم تجزیه شدند. نتایج به دست آمده در جداول ۱ تا ۴ آورده شده است که تفسیر آنها در ادامه می‌آید.

شیمی تورمالین

فرمول عمومی تورمالین را بصورت $XY_3Z_6(T_6O_{18})(BO_3)_3V_3W$ در نظر می‌گیرند [۱۶]، و با توجه به جانشینی‌های احتمالی در جایگاه X، تورمالین‌ها را بر

تورمالین‌ها با پیشرفت جدایش افزایش می‌یابد [۲۱]. مقدار لیتیم مربوط به تورمالین‌های سیمین ۵۲۸ ppm است که نشان دهنده تشکیل آنها از یک مagmaی جدایش یافته است.

[۲۰] و نمودار $\text{Fe}/(\text{Fe}+\text{Mg})/\text{Na}/(\text{Na}+\text{Ca})$ نسبت به استفاده شد. در این نمودارها، نمونه‌های مورد بررسی در گستره شورل قرار می‌گیرند (شکل‌های ۴ ب و پ). مقدار Li در

جدول ۱ نتایج تجزیه ریزپردازشی (اکسیدهای اصلی) نمونه‌های تورمالین موجود در آپلیت-پگماتیت‌های منطقه سیمین.

Samples	SIM6-3-1	SIM6-3-2	SIM6-3-3	SIM6-3-5	SIM-6-5-1	SIM-6-5-2	SIM-6-5-3	SIM-6-5-4	SIM-6-5-5	SIM-6-5-6	SIM-6-5-7	SIM-6-5-8	SIM-6-5-9	SIM-1-1	SIM-2-1	SIM-3-1	SIM-4-1	SIM-5-1	SIM-6-1	SIM-7-1	SIM-8-1	SIM-9-1	SIM-10-1
TiO ₂	0.9	0.61	0.64	0.25	0.29	0.31	0.99	0.68	0.97	0.78	0.48	0.93	1.02	0.4	1	0.78	0.97	0.96	0.87	0.35	0.89	0.89	0.63
Al ₂ O ₃	22.4	34	22.2	29.5	22	32	32.7	32.2	32.6	32.4	32.5	32.4	32.3	38	37	36.8	37.1	37.1	36.6	36.9	37	36.7	36.8
FeO	12.5	11.5	12.2	10.5	11.3	11.2	12.1	11.8	12.2	11.8	11	11.5	11.3	12.9	14.3	14.1	13.3	13.4	13.1	13.5	13.2	13.2	13.2
MnO	0.14	0.53	0.14	0.12	0.12	0.13	0.12	0.12	0.12	0.12	0.13	0.1	0.1	0.23	0.16	0.17	0.03	0.02	0.16	0.17	0.16	0.17	0.15
MgO	0.65	0.45	0.6	0.43	0.42	0.45	0.6	0.6	0.6	0.62	0.78	0.75	0.52	0.54	0.85	0.62	0.78	0.5	0.62	0.67	0.84		
CaO	0.31	0.24	0.23	0.09	0.12	0.14	0.31	0.29	0.31	0.26	0.15	0.28	0.35	0.09	0.26	0.34	0.24	0.26	0.28	0.09	0.22	0.27	0.28
Na ₂ O	1.72	1.72	1.63	1.42	1.3	1.32	1.67	1.6	1.67	1.61	1.48	1.61	1.57	1.32	1.67	1.97	1.89	1.96	1.91	1.61	1.88	1.58	1.71
K ₂ O	0.05	0.04	0.05	0.04	0.03	0.02	0.05	0.04	0.05	0.04	0.04	0.05	0.05	0.06	0.04	0.05	0.06	0.04	0.06	0.05	0.05	0.07	0.08
Si	6	6	6	6	6	6	6	6	6	6	6	6	6	6	6	6	6	6	6	6	6	6	6
Al	7.72	7.88	7.81	7.94	7.97	7.96	7.72	7.78	7.71	7.78	7.93	7.75	7.75	6.87	6.5	6.46	6.52	6.59	6.54	6.76	6.59	6.6	6.63
Ti	0.13	0.09	0.1	0.04	0.05	0.05	0.15	0.1	0.15	0.12	0.07	0.14	0.16	0.05	0.13	0.1	0.13	0.13	0.12	0.05	0.12	0.09	
Fe	2.05	1.89	2.03	2	1.99	1.99	2.03	2.03	2.04	2.01	1.9	1.96	1.92	3.49	2.78	3.77	3.72	2.54	2.6	3.59	3.61	3.56	
Mn	0.02	0.09	0.02	0.02	0.02	0.02	0.02	0.02	0.02	0.02	0.02	0.02	0.02	0.06	0.04	0.01	0.01	0.04	0.05	0.05	0.04	0.04	
Mg	0.19	0.13	0.18	0.15	0.13	0.14	0.18	0.18	0.18	0.19	0.23	0.23	0.14	0.14	0.17	0.16	0.21	0.21	0.14	0.17	0.18	0.23	
B	3	3	3	3	3	3	3	3	3	3	3	3	3	3	3	3	3	3	3	3	3	3	3
Ca	0.08	0.05	0.05	0.02		0.03	0.07	0.06	0.07	0.06	0.03	0.06	0.08	0.02	0.07	0.09	0.06	0.07	0.08	0.02	0.06	0.07	0.08
Na	0.65	0.66	0.63	0.63	0.53	0.53	0.65	0.64	0.65	0.63	0.59	0.63	0.62	0.72	0.88	1.04	1	1.04	1.03	0.89	1	0.85	0.92
K	0.01	0.01	0.01	0.01	0.01	0.01	0.01	0.01	0.01	0.01	0.01	0.01	0.01	0.02	0.03	0.02	0.03	0.03	0.03	0.03	0.04	0.04	
Xvacancy	0.27	0.28	0.31	0.34	0.43	0.41	0.27	0.29	0.27	0.3	0.36	0.29	0.29	0.24	0.3	-0.16	-0.08	-0.15	-0.13	-0.06	-0.09	0.04	0.
R1+R2	2.97	2.81	2.90	2.81	2.71	2.74	2.94	2.92	2.95	2.90	2.74	2.90	2.86	4.43	4.90	5.11	4.95	4.87	4.95	4.69	4.86	4.7	4.82
R3	7.89	8.00	7.93	7.99	8.04	8.02	7.91	7.92	7.90	7.93	8.03	7.93	7.95	6.94	6.67	6.59	6.68	6.75	6.7	6.82	6.76	6.74	
Fe#	0.95	0.96	0.95	0.96	0.96	0.96	0.95	0.95	0.95	0.95	0.95	0.95	0.93	0.96	0.96	0.95	0.95	0.94	0.95	0.95	0.96	0.95	0.94
Sum	19.8	19.8	19.8	19.8	19.7	19.8	19.8	19.8	19.8	19.8	19.8	19.8	19.8	20.6	20.6	20.5	20.5	20.5	20.6	20.5	20.6	20.5	

جدول ۲ نتایج تجزیه عنصر فرعی و کمیاب تورمالین‌های منطقه سیمین به روش ICP-MS

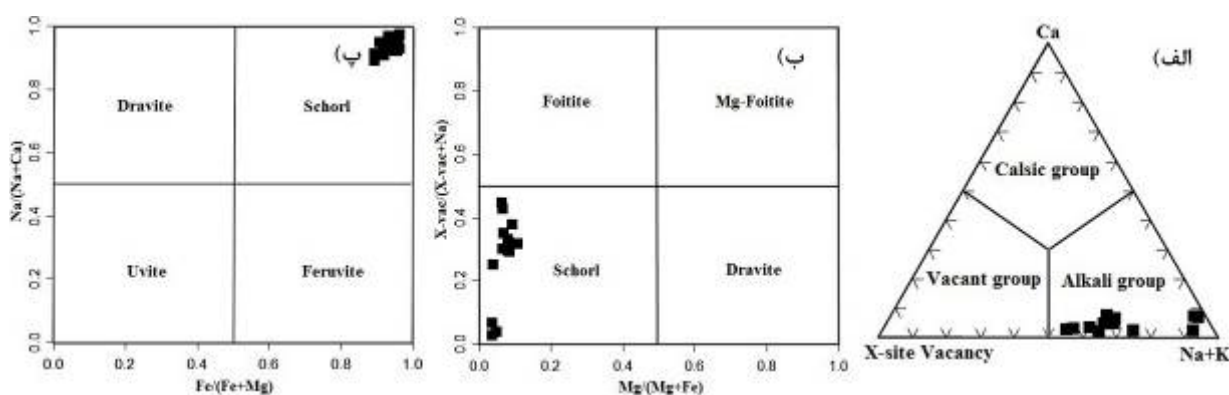
نمونه	SIM6-3-1	SIM6-3-2	SIM6-3-3	SIM6-5-3	SIM6-5-4	SIM6-5-5	SIM6-5-6	SIM6-5-7	SIM6-5-8	SIM6-5-9
Li	۵۰.۶	۵۲۸	۵۳.۷	۶۵.۲	۶۸۸	۶۱.۳	۱۸۲.۱	۲۴۱.۴	۷۸	۲۸۴.۸
Na	۱۲۲.۰	۱۳۲۰.	۱۲۵۱.	۱۲۸۴.	۱۲۲۳.	۱۲۸۱.	۱۲۲۷.	۱۱۴۱.	۱۲۴۰.	۱۲۱۰.
Mg	۴۰.۴۳	۲۸۳۰	۳۷۸۵	۳۷۳۹	۳۷۳۶	۳۷۲۹	۳۷۲۶	۳۸۵۳	۴۸۴۶	۴۶۷.
P	.	۲۱	۴۰	۴۷	۶۸	۲۷	۳۲	۴	۵۴	۵۵
K	۴۱۶	۳۶۸	۳۷۷	۴۰.۵	۳۵۹	۴۴.	۳۶۲	۳۱۱	۳۷۴	۴۰.۳
Ca	۲۲۱.	۱۶۹.	۱۶۰.	۲۱۹.	۲۰۴.	۲۲۰.	۱۸۸.	۱۰۸.	۲۰۲.	۲۵۲.
Sc	۱۶۶	۱۲۴۷	۱۲۱.۷	۱۸۲.۱	۱۵۱.۲	۱۹۰.۴	۱۶۸.۱	۱۶۳۹	۱۶۹.۱	۱۸۵۷
Ti	۵۶۵.	۳۸۲۹	۳۹۷۷	۶۱۰.	۴۲۳۰.	۶۰۷.	۴۸۷۶	۲۹۹۷	۵۸۱۰.	۶۳۸.
V	۰.۵۷	۰.۶۶	۰.۷۷	۰.۴۸	۰.۳۱	۰.۴۳	۰.۴۸	۱.۰۸	۱۲۷	۲۴۵
Cr	۱.۲	۱.۳	۱.۷	.	۲.۸	۱.۳	۳	۱.۹	۲.۳	۰.۷
Mn	۱۱۴۹	۴۴۱۹	۱۱۴۴	۱۰۲۴	۱۰۱۴	۱۰۳۲	۱۰۳۸	۱۱۲۳	۸۲۹	۸۶۱
Co	۱.۲۴	۰.۹۵	۰.۸۵	۱.۶۱	۱.۷۵	۱.۴	۱.۵۷	۳.۸۲	۶.۷۳	۷.۹۵
Ni	۰.۲۷	۰.۱۵	۰.۴۵	۰.۱۴	۰.۲۳	۰.۵۵	۰.۳۴	.	۰.۲۶	۰.۲۷
Ga	۱۰.۷۴	۱۱۳.۷	۱۰۷.۹	۱۱۰.۷	۱۰۲۸	۱۰۶.۵	۱۰۸۶	۹۸۳	۱۰۰.۹	۱۰۲
Ge	۴.۷	۵	۳.۳	۲.۲	۲.۴	۲.۲	۳.۸	۲	۳.۵	۵.۱
Rb	۰.۱	۰.۱۷	۰.۰۸	۰.۰۸	۰.۱۶	۰.۳۶	۰.۱۱	.	۰.۲۹	۰.۰۵
Sr	۰.۴۵	۰.۳۶	۰.۴۹	۰.۵۴	۰.۴۴	۰.۴۱	۰.۴۵	۰.۴۱	۰.۷۸	۰.۵۴
Y	۰.۰۱۶	۰.۰۳۹	۰.۰۸۷	۰.۰۳۶	۰.۰۰۶	۰.۰۳۸	۰.۰۲۷	.	۰.۱۰۷	۰.۰۴۶
Zr	۰.۵۶	۰.۳۹	۰.۵	۰.۵	۰.۳۸	۰.۵۲	۰.۴۵	۰.۳۶	۰.۴۲	۰.۴۵
Nb	۱.۳۱	۱.۲۶	۱.۳	۱.۳۶	۱.۱	۱.۵۷	۱.۴۸	۰.۷۱	۱.۰۳	۰.۸۶
Mo	۰	۰	۰	۰	۰	۰	۰	۰	۰	۰
Mo
In	۰.۸۱	۰.۹	۰.۶	۰.۶۱	۰.۴۹	۰.۸۲	۰.۶۹	۰.۵۱	۰.۴۴	۰.۵۴
Sn	۴.۶۷	۱۵	۴۶۱	۴.۱۱	۳۵۹	۳.۹۹	۳.۹۴	۳.۶۴	۲.۹۸	۴.۴۳
Cs	۰.۱۱	۰.۰۷	.	.	.	۰.۰۱	.	۰.۰۲	.	۰.۰۲
Ba	.	۱.۰۸
La	۵۰.۶	۲۴۳	۲.۹۵	۵.۲۲	۳.۴	۴.۸۱	۴.۱۱	۱.۳۲	۵۳۹	۶۳۶
Ce	۱۰.۲۶	۵۵۲	۶.۹۶	۱۰.۸	۷.۱۲	۹.۵۴	۹.۰۱	۲۷۵	۱۰.۹۹	۱۳
Pr	۰.۶۹	۰.۵۳	۰.۵۸	۰.۹۶	۰.۷۳	۱.۰۱	۰.۹	۰.۲۱۵	۰.۹۱	۰.۹۲
Nd	۲۲۴	۱.۱	۱.۷۳	۳.۲۸	۱.۷۲	۳.۵۲	۲۴۸	۰.۶	۳.۱۲	۳.۲۲
Sm	۰.۰۲۶	۰.۰۹	۰.۲۴	۰.۲۵	۰.۱۳	۰.۵۲	.	۰.۰۳۷	۰.۲۴	۰.۴۵
Gd	۰.۰۴۷	.	۰.۰۲۷	۰.۰۸۵	.	۰.۱	.	.	.	۰.۰۶۲
Ho
Tm
Hf	.	.	.	۰.۰۵۲	.	۰.۰۴۴	.	۰.۰۳۲	.	.
Ta	۰.۱۳۳	۰.۵۵	۰.۱۶۱	۰.۱۸۸	۰.۱۷۸	۰.۲۱۳	۰.۲۶	۰.۱۵۱	۰.۱۵۸	۰.۲۰۷
Tl	۰.۰۷۷	۰.۰۵۲	۰.۰۵۳	۰.۰۰۹	۰.۰۵۴	.	.	۰.۰۴۴	.	.
Pb	۱.۶۳	۱.۶۱	۱.۳	۱.۰۶	۱	۱.۶۱	۰.۹۸	۰.۷۳	۱.۶۷	۱.۷

جدول ۳ نتایج تجزیه ریزپردازشی (اکسیدهای اصلی) فلدسپارهای موجود در منطقه سیمین.

نمونه	SIM6-3-1	SIM6-3-2	SIM6-3-3	SIM6-3-4	SIM6-3-5	SIM6-5-1	SIM6-5-2	SIM6-5-3	SIM6-5-4	SIM6-5-5	SIM6-5-6	SIM6-5-7	SIM6-5-8	SIM6-5-9	SIM-1-1	SIM-2-1	SIM-3-1	SIM-4-1	SIM-5-1	SIM-6-1	SIM-7-1	SIM-8-1	
TiO ₂	۰.۰۰۱	۰.۰۰۰	۰.۰۰۲	۰.۰۰۱	۰.۴۵۱	۰.۰۰۱	۰.۰۰۴	۰.۰۰۱	۰.۰۰۲	۰.۰۰۳	۰.۰۰۱	۰.۰۰۵	۰.۰۰۱	۰.۰۰۵	۰.۰۰۰	۰.۰۰۰	۰.۰۰۰	۰.۰۰۰	۰.۰۰۰	۰.۰۰۰	۰.۰۰۰	۰.۰۰۰	
Al ₂ O ₃	۱۷.۵۵	۱۸.۹۱۸	۲۰.۵۰۲	۱۸.۳۹۶	۶۱.۱۴۶	۲۰.۱۹۶	۲۰.۴۴۸	۲۰.۶۲۸	۲۰.۴۶	۲۰.۷۴۵	۲۰.۰۵۲	۲۰.۳۹۴	۲۰.۵۳۸	۱۹.۰۷	۱۸.۸۵	۱۸.۲۲	۱۸.۹۲	۲۱.۲۸	۲۰.۶۹	۲۰.۲۶	۱۷.۰۰	۱۷.۰۰	
FeO	۰.۰۱	۰.۰۲	۰.۱۴	۰.۰۲	۲۲.۰۸	۰.۰۰۱	۰.۱۴	۰.۰۰۱	۰.۰۰۲	۰.۰۰۱	۰.۰۰۹	۰.۰۱۶	۰.۰۰۱	۰.۰۰۴	۰.۰۰۰	۰.۰۰۰	۰.۰۰۰	۰.۰۰۰	۰.۰۰۰	۰.۰۰۰	۰.۰۰۰	۰.۰۰۰	
MnO	۰.۰۰۱	۰.۰۰۰	۰.۰۰۰	۰.۰۰۰	۰.۳۸۹	۰.۰۰۰	۰.۰۰۰	۰.۰۰۰	۰.۰۰۰	۰.۰۰۰	۰.۰۰۰	۰.۰۰۰	۰.۰۰۰	۰.۰۰۰	۰.۰۰۰	۰.۰۰۰	۰.۰۰۰	۰.۰۰۰	۰.۰۰۰	۰.۰۰۰	۰.۰۰۰	۰.۰۰۰	
MgO	۰.۰۰۱	۰.۰۰۱	۰.۰۱۷	۰.۰۰۰	۰.۵۹۵	۰.۰۰۱	۰.۰۰۱	۰.۰۰۴	۰.۰۰۰	۰.۰۰۱	۰.۰۰۶	۰.۰۰۱	۰.۰۰۹	۰.۰۰۰	۰.۰۰۰	۰.۰۰۰	۰.۰۰۰	۰.۰۰۰	۰.۰۰۰	۰.۰۰۰	۰.۰۰۰	۰.۰۰۰	
CaO	۰.۳۸۱	۱.۴۹۸	۱.۰۸۱	۰.۲۵۱	۰.۴۴۸	۱.۵۱۹	۱.۷۶۱	۱.۴۴۲	۱.۸۶۵	۱.۸۶۸	۱.۲۰۱	۱.۴۰۴	۱.۶۹۳	۱.۲۹۲	۰.۰۲	۰.۰۳	۰.۱۹	۰.۱۹	۰.۱۷	۰.۰۵	۰.۱۹	۰.۱۹	
Na ₂ O	۰.۴۸	۱.۰۰۵	۹.۶۷	۱۰.۴۷۷	۲.۸۰۰	۹.۸۶۷	۹.۸۰۲	۹.۴۷۷	۹.۶۸۶	۹.۵۲۳	۹.۶۷۲	۹.۵۲۹	۹.۷۱۸	۹.۵۰۳	۱.۲۴	۱.۰۲	۰.۹۹	۱.۲۰۱	۱.۲۲۱	۱.۱۹۳	۱۱.۴۳	۱۱.۴۳	
K ₂ O	۱۶.۸۷۸	-۰.۱۹	-۰.۵۹۸	-۰.۱۳	-۰.۶۵	-۰.۱۸	۱۶۷	-۰.۷۵۱	-۰.۱۳۳	-۰.۵۹۶	-۰.۴۴	-۰.۵۹۲	-۰.۱۶۴	-۰.۸۲۲	-۱۶.۹	-۱۶.۱۵	-۱۶.۵	-۱۶.۶۱	-۰.۱	-۰.۹	-۰.۰۷	-۰.۰۷	
Si	۳.۰۰۰	۳.۰۰۰	۳.۰۰۰	۳.۰۰۰	۳.۰۰۰	۳.۰۰۰	۳.۰۰۰	۳.۰۰۰	۳.۰۰۰	۳.۰۰۰	۳.۰۰۰	۳.۰۰۰	۳.۰۰۰	۳.۰۰۰	۲.۵۵۴	۲.۵۸۱	۲.۵۸۲	۲.۵۸۶	۲.۶۷۸	۲.۷۱۵	۲.۷۱۵	۲.۷۱۵	
Al	۰.۹۷۲	-۰.۹۹۴	۱.۰۲۶	۱.۰۰۹	۱.۰۹۴	۱.۰۱۴	۱.۰۱۲	۱.۰۱۹	۱.۰۱۴	۱.۰۱۲	۱.۰۱۸	۱.۰۱۴	۱.۰۱۴	۱.۰۲۲	۱.۰۰۹	-۰.۹۸۳	-۰.۹۶۴	۱.۰۰۳	۱.۱۰۲	۱.۱۳۵	۱.۰۹۵۹	۱.۰۸۰	۱.۰۸۰
Ti	۰.۰۰۰	۰.۰۰۰	۰.۰۰۰	۰.۰۰۰۵	۰.۰۰۰	۰.۰۰۰	۰.۰۰۰	۰.۰۰۰	۰.۰۰۰	۰.۰۰۰	۰.۰۰۰	۰.۰۰۰	۰.۰۰۰	۰.۰۰۰	۰.۰۰۰	۰.۰۰۰	۰.۰۰۰	۰.۰۰۰	۰.۰۰۰	۰.۰۰۰	۰.۰۰۰	۰.۰۰۰	
Fe	۰.۰۰۰	۰.۰۰۰	۰.۰۰۱	۰.۰۰۰	۰.۲۷۹	۰.۰۰۰	۰.۰۰۰	۰.۰۰۰	۰.۰۰۰	۰.۰۰۰	۰.۰۰۰	۰.۰۰۰	۰.۰۰۰	۰.۰۰۰	۰.۰۰۰	۰.۰۰۰	۰.۰۰۰	۰.۰۰۰	۰.۰۰۰	۰.۰۰۰	۰.۰۰۰	۰.۰۰۰	
Mn	۰.۰۰۰	۰.۰۰۰	۰.۰۰۰	۰.۰۰۰۵	۰.۰۰۰	۰.۰۰۰	۰.۰۰۰	۰.۰۰۰	۰.۰۰۰	۰.۰۰۰	۰.۰۰۰	۰.۰۰۰	۰.۰۰۰	۰.۰۰۰	۰.۰۰۰	۰.۰۰۰	۰.۰۰۰	۰.۰۰۰	۰.۰۰۰	۰.۰۰۰	۰.۰۰۰	۰.۰۰۰	
Mg	۰.۰۰۰	۰.۰۰۰	۰.۰۰۱	۰.۰۰۰	۰.۱۳	۰.۰۰۰	۰.۰۰۰	۰.۰۰۰	۰.۰۰۰	۰.۰۰۰	۰.۰۰۰	۰.۰۰۰	۰.۰۰۰	۰.۰۰۰	۰.۰۰۰	۰.۰۰۰	۰.۰۰۰	۰.۰۰۰	۰.۰۰۰	۰.۰۰۰	۰.۰۰۰	۰.۰۰۰	
Ca	-۰.۱۹	-۰.۷۲	-۰.۰۹	-۰.۱۲	-۰.۰۰۷	-۰.۰۶۹	-۰.۰۷۹	-۰.۰۸۵	-۰.۰۸۳	-۰.۰۵۵	-۰.۰۶۵	-۰.۰۷۷	-۰.۰۵۸	-۰.۰۰۲	-۰.۰۰۲	-۰.۰۰۲	-۰.۰۰۲	-۰.۰۰۲	-۰.۰۰۲	-۰.۰۰۲	-۰.۰۰۲	-۰.۰۰۲	
Na	-۰.۳۷	-۰.۸۶۹	-۰.۹۱	-۰.۹۱	-۰.۸۵	-۰.۸۱۵	-۰.۷۹۸	-۰.۷۷۵	-۰.۷۸۳	-۰.۷۶۴	-۰.۸۰	-۰.۷۹۳	-۰.۷۹۵	-۰.۷۷۸	-۰.۱۹۷	-۰.۱۶۲	-۰.۱۵۷	-۰.۱۹۲	-۰.۹۲۲	-۱.۹۵۳	-۱.۸۹۵۳	-۱.۸۳۷	
K	۱.۰۹	-۰.۰۶	-۰.۰۲	-۰.۰۶	-۰.۰۰۰	-۰.۰۰۶	-۰.۰۰۹	-۰.۰۰۴	-۰.۰۰۷	-۰.۰۳۱	-۰.۰۲۵	-۰.۰۳۲	-۰.۰۰۹	-۰.۰۳۳	-۰.۰۳۲	-۰.۰۳۲	-۰.۰۳۲	-۰.۰۳۲					

جدول ۴ نتایج تجزیه عناصر فرعی و کمیاب فلدوپارهای منطقه سیمین به روش ICP-MS

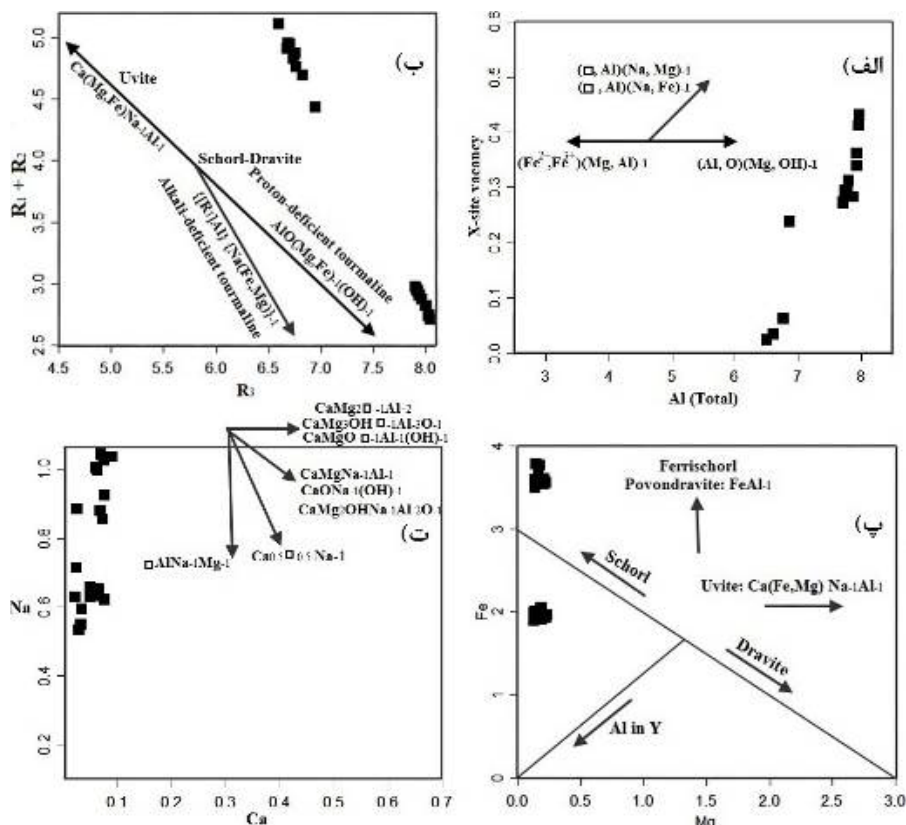
نمونه	SIM6-3 - 1	SIM6-3 - 2	SIM6-3 - 3	SIM6-3 - 4	SIM6-5 - 1	SIM6-5 - 2	SIM6-5 - 3	SIM6-5 - 4	SIM6-5 - 5	SIM6-5 - 6	SIM6-5 - 7	SIM6-5 - 8	SIM6-5 - 9
Li	•	۳۹	۱۱.۸	•	۲.۳	•	۶.۵	۰.۲	۱۹.۲	۱۵۲	۸.۹	۲	۹.۶
Mg	۷.۶	۰.۴	۱۰.۶	۱.۲۱	۴.۴	۸.۷	۲۷.۸	۰.۳۱	۸.۶	۳۹.۹	۶۰.۷	۶.۲	۵۷.۹
P	۹۸.۰	۱۲۰.۷	۴۳۹	۲۷	۸.۱	۱۰.۱	۶۸.۳	۶۸.۸	۱۲۰.۰	۵۲۲	۱۰.۴۰	۷۶.۰	۴۹.۷
Sc	۲.۷۵	۲.۱۸	۲.۲۱	۲.۴۶	۲.۱۷	۱.۷۳	۲.۲۵	۲.۱۷	۲.۱۲	۱.۹۶	۲.۵۲	۲.۱۱	۵.۱۷
Ti	۵.۲	۲.۳	۱۱.۷	۳.۲	۵.۱	۶.۵	۲۶.۹	۸.۵	۱۵	۱۵۷	۷.۶	۹.۳	۲۲.۱
V	۰.۰۷	۰.۱۴	۰.۱	۰.۰۷	۰.۰۲	۰.۱	۰.۱۳	۰.۰۳	•	•	۰.۰۲	۰.۱۸	۰.۰۶
Cr	۴.۵	۰.۳	۲.۲	۵.۹	۵.۴	۰.۵	۲.۶	۰.۶	۲.۲	۲.۲	۳.۳	۲.۴	۴
Mn	۸.۶	۲.۶	۰.۶	•	•	۰.۳	۱.۸	•	۱۲.۹	۱۱.۱	۸.۳	۱.۱	۳۱.۹
Fe	۱۰.۳	۱۷.۹	۱۲۰	۱۷.۴	۷.۹	۹.۳	۱۱.۳	۰.۹	۹.۸	۷۳.۶	۱۲۳	۶.۴	۲۰.۱
Co	۰.۰۴	۰.۰۶	۰.۴۵	•	۰.۰۱	•	۰.۰۷	۰.۰۳	۰.۰۵	۰.۰۷	۰.۰۵	۰.۰۲	۰.۰۸
Ni	۰.۲۱	۰.۱۶	۴.۲۲	۰.۰۵	۰.۱	۰.۱	۰.۴	۰.۱	۰.۵۴	۱.۲۸	۱.۲۵	۰.۲۴	۱.۱۹
Ga	۱۴.۲	۲۲.۸	۲۲.۷	۱۷.۶	۲۱.۳	۲۳.۱	۲۷.۴	۲۴	۲۳.۲	۲۱.۴	۲۴.۲	۲۲.۱	۲۵.۳
Ge	۷.۱	۴.۸	۳.۵	۷.۷	۴.۳	۳.۳	۵.۶	۲.۶	۴.۵	۴	۷.۷	۳.۹	۳.۸
Rb	۱۳۱۹	۰.۵۴	۲.۹	۰.۳۸	۰.۸	۲.۱۷	۲۹.۳	۰.۸۵	۲۱.۶	۱۴	۲۲.۲	۲.۲۶	۳۹.۹
K/Rb	۱۰.۶۴	۱۶۸۳.۳	۱۷۱.۷	۲۲۶.۰۵	۱۱۲۳.۹	۶۴۲۴	۲۱۳.۶	۱۷۰.۴۶	۲۲۰.۰	۲۶۶.۴	۲۲۲.۰	۶۰.۵۳	۱۲۹.۸
K/Cs	۶۸۴.۸	۳۰.۳۰۰.۰	۱۰۸۲۶.۱	۵۷۲۶.۶	۱۷۲۸۸.۵	۲۱۱۲۱.۲	۲۳۹۸.۴	۶۹۲۵.۰	۵۱۲۳.۷	۸۲۸۸.۸	۲۲۱.۰	۷۲۰۰.۰	۹۲۵.۰
Sr	۳.۲۱	۲.۴۸	۱۴.۷	۱.۱	۶.۴۸	۶.۸۷	۱۶.۸	۶.۶۹	۳.۲۳	۲۱.۶	۱۹.۱	۸.۸۸	۱۰.۴
Y	۳.۸۹	۶.۶۷	۰.۲۲	•	۰.۲۶	۰.۱۷	۰.۷۲	۰.۱۲	۴.۲۷	۰.۷۹	۱.۲۹	۰.۱۱	۰.۳۶
Zr	•	•	۰.۱۳	•	•	•	۰.۰۲	•	۰.۲۵	۰.۲۹	۰.۱۹	•	۰.۰۹
In	۰.۰۵	۰.۰۴	۰.۰۳	۰.۰۱	۰.۰۲	۰.۰۱	۰.۰۵	۰.۰۲	۰.۰۱	۰.۰۲	•	•	۰.۱۵
Sn	۰.۲۲	۰.۱۵	۰.۸۵	۰.۰۵	۰.۳۲	۰.۲	۵.۸۴	۰.۴۳	۰.۸۲	۰.۴۷	۱.۸۸	۱.۱۹	۱۷.۹
Cs	۲۰.۵	۰.۰۳	۰.۴۶	۰.۱۵	۰.۰۵	۰.۰۷	۲.۶۱	۰.۱۶	۰.۹۷	۰.۴۵	۰.۲۳	۰.۱۹	۵.۶
Ba	۶.۹	۰.۲۵	۷.۱	۰.۳۱	۱.۸۲	۰.۵۲	۶.۵	۰.۴۱	۱۴.۵	۸.۹	۱۰	۱.۶۵	۲.۳۵
La	۰.۹۵	۱	۲.۸۱	•	۱.۴۱	۱.۹۵	۳.۹۲	۲/۱۹	۶.۲۲	۳.۵۷	۲.۲۹	۲.۵۶	۰.۹۶
Ce	۲.۰۲	۳.۱۶	۵.۴	•	۱.۷۹	۲.۵۷	۶.۱۳	۳.۹۹	۱۱.۶	۵.۹	۳.۵۴	۳.۹۱	۱.۶۸
Pr	۰.۲۵	۰.۳۸	۰.۴۵	•	۰.۱۳	۰.۱۵	۰.۳۹	۰.۲۶	۱.۱۲	۰.۳۹	۰.۲۲	۰.۲۲	۰.۱۲
Nd	۰.۷۹	۱.۳۹	۱.۲	•	۰.۵۹	۰.۲۴	۱.۴۶	۰.۵۵	۳.۷۷	۱.۴	۰.۹۵	۰.۷۲	۰.۱۴
Sm	۰.۲۵	۰.۳۴	۰.۲	•	•	۰.۰۳	۰.۲۵	•	۰.۶	۰.۲۲	۰.۰۲	•	•
Gd	۰.۶	۰.۸۶	•	•	۰.۰۵	•	•	•	۰.۸۲	•	۰.۳۵	•	۰.۰۳
Dy	۰.۶۳	۱.۴۲	۰.۰۲	•	۰.۰۴	•	۰.۰۸	•	۱.۰۷	۰.۰۶	۰.۱۵	۰.۰۳	۰.۰۹
Ho	۰.۱۳	۰.۲۴	•	•	•	•	•	•	۰.۱	•	۰.۰۲	•	•
Tm	۰.۰۴	۰.۰۸	•	•	•	•	•	•	۰.۰۴	•	۰.۰۱	•	۰.۰۱
Ta	۰.۰۴	•	۰.۲۹	•	•	•	۰.۰۲	•	۰.۱۳	۰.۰۵	۰.۰۶	•	۰.۴۳
Tl	۴.۹۳	۰.۰۶	۰.۲۳	۰.۰۴	۰.۰۴	۰.۰۴	۰.۲	۰.۰۱	۰.۱۹	۰.۰۷	۰.۱۳	۰.۰۵	۰.۱۲
Pb	۲۳.۸	۰.۳۵	۶.۸۱	۱.۸۲	۶.۸	۸.۸۴	۱۲.۵	۱۲.۳	۱۳.۲	۱۰.۷	۸.۷۶	۱۱	۶.۶۲



شکل ۴ (الف) نمودار مثلثی (Ca-X-vac-Na+(K)، جایگاه نمونه‌های مورد بررسی بر آن، $x_{vac}=1-(Ca+Na+K)$) (ب) جایگاه تورمالین-های مورد بررسی بر نمودار $x_{vac}/(X-vac+Na)$ نسبت به $Mg/(Mg+Fe)$ (پ) جایگاه تورمالین‌ها بر نمودار $Na/(Na+Ca)$ نسبت به $Fe/(Fe+Mg)$.

پیکان کمبود قلیایی هاست، که نشان دهنده تأثیر تهی شدن از قلیایی در این نمونه هاست. در شکل ۵ پ، ترکیب شورل-دراویت روی خط $\Sigma(\text{Fe} + \text{Mg}) = 3$ قرار می گیرد و همه نمونه هایی که زیر این خط دارای $\Sigma(\text{Fe} + \text{Mg}) < 3$ بوده که بیانگر جانشینی Al در جایگاه Y است، بنابراین هر چه مقدار $\Sigma(\text{Fe} + \text{Mg})$ کمتر باشد، میزان جانشینی Al در جایگاه Y بیشتر می شود [۲۴]. در بالای خط شورل-دراویت نیز مولفه تبادلی پوندراویت و اوویت وجود دارد. بر اساس این نمودار، برخی از تورمالین های مورد بررسی دارای جانشینی Al در جایگاه Y هستند و برخی از نمونه ها که در بالای خط $\Sigma(\text{Fe} + \text{Mg}) = 3$ قرار می گیرند، دارای مقدار Fe بسیار بیشتر از Mg بوده و ترکیب آنها به فری شورل نزدیکتر است. به منظور بررسی غنی شدگی نسبی برخی از نمونه ها از Ca نسبت به Na و تعیین واکنش های جانشینی مؤثر، از نمودار استفاده شد [۲۵] (شکل ۵ ت).

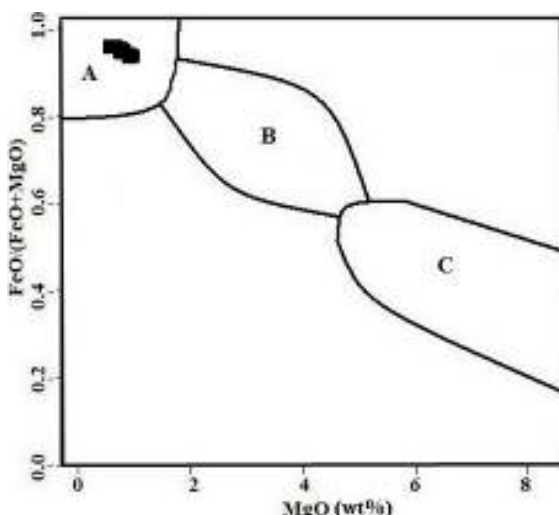
و اکنش‌های جانشینی در ترکیب تورمالین و اکنش‌های جانشینی در ساختار تورمالین هم می‌تواند به صورت تبادل یون‌های هم ظرفیت در یک جایگاه ویژه (مانند جانشینی Mg به جای Fe^{+2} در جایگاه Y) و هم به صورت تبادل یون‌های با ظرفیت‌های مختلف در جایگاه‌های مختلف (مانند جانشینی Ca-Al به جای Na-Al که دو جایگاه X و Y را درگیر می‌کند) انجام شود. به منظور بررسی اکنش‌های جانشینی احتمالی صورت گرفته در ترکیب تورمالین‌های مورد بررسی، از نمودارهای متفاوتی استفاده شد (شکل ۵). با توجه به روند قابل مشاهده در شکل ۵ الف [۲۲]، در تورمالین‌های مورد بررسی بیشتر اکنش کمبودهای قلیایی با فرمول $.-Al\{Mg,Fe\}Na\{\square\}$ ، دیده می‌شود. در شکل ۵ ب نیز که برای بررسی اکنش‌های جانشینی ترکیب تورمالین‌ها استفاده می‌شود [۲۳]، ترکیب شورل-دراویت نزدیک به مرکز نمودار قرار می‌گیرد. تورمالین‌های مورد بررسی در این نمودار در بالای پیکان پروتون‌زادایی قرار دارند و راستای آنها در جهت



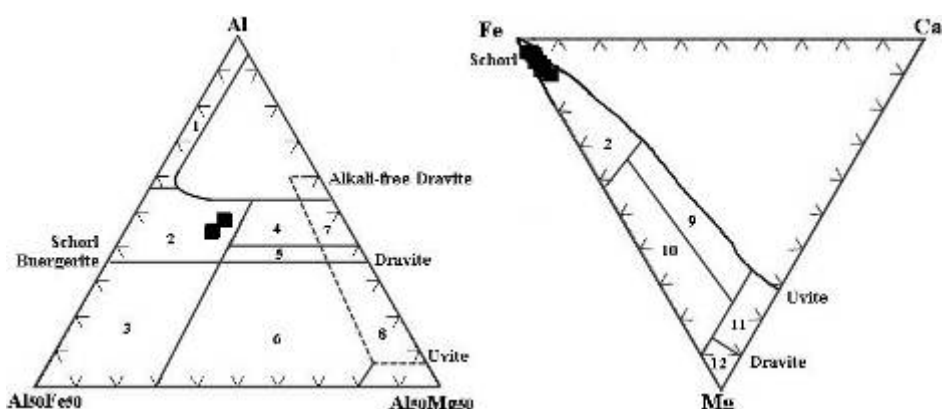
شکل ۵ الف) جایگاه تورمالین‌های مورد بررسی بر نمودار Al_{tot} -Xvac [۲۲]. ب) جایگاه تورمالین‌های مورد بررسی بر نمودار R_3 - R_1+R_2 [۲۳] که $R_3=Al+1.33Ti$, $R_2=Fe+Mg+Mn$, $R_1=Ca+Na$. پیکانهای جدا شده از ترکیب آرمانی شورل-دراویت نشان دهنده‌ی جانشینی‌های بیوویت (پیکان بالایی) و جانشینی‌های تورمالین‌های ناقص از نظر قلایی و پروتون‌زادایی (پیکان‌های پایینی) هستند، پ) جایگاه تورمالین‌های مورد بررسی، بر نمودار Na -Ca [۲۴]. ت) جایگاه تورمالین‌های مورد بررسی، بر نمودار Mg -Fe نسبت به Ca [۲۵].

خارجی در تشکیل آنها نقشی نداشته‌اند (شکل ۶). با توجه به نمودارهای سه‌تایی $\text{Al}-\text{Ca}-\text{Fe}$ و $\text{Al}_{50}\text{Mg}_{50}\text{Fe}_{(\text{tot})50}-\text{Al}-\text{Mg}$ [۲۸] که خاستگاه را مشخص می‌کند، تورمالین‌های مورد بررسی در گستره‌ی گرانیتوئیدهای فقیر از Li و پگماتیت‌ها و آپلیت‌های وابسته به آن قرار دارند (شکل ۷).

بیشتر نمونه‌های مورد بررسی دارای Ca کمتر از ۰/۱٪ هستند، در حالی که مقدار Na در این نمونه‌ها تغییرات گسترده‌ای دارد پس در تشکیل این تورمالین‌ها مؤلفه‌ی $\square_{\text{AlNa}}\text{Mg}_{1-x}$ مؤثر است که بیانگر تشکیل تمیجای X است [۲۶]. بر اساس نمودار تغییرات $\text{FeO}/\text{FeO}+\text{MgO}$ [۲۷]، تورمالین‌های موجود در توده‌ی گرانیتی بوجود آمده‌اند و شاره‌های



شکل ۶ نمودار $\text{FeO}/\text{FeO}+\text{MgO}$ نسبت به MgO [۲۷] گستره‌ی A شاخص تورمالین‌های درون و نزدیک توده‌ی گرانیتی و نشانگر بسته بودن سیستم ماقمایی و دخالت نداشتن سیال‌های خارجی در تشکیل تورمالین‌هاست، گستره‌ی B شاخص تورمالین‌هایی است که در فاصله‌ی نزدیک تا حد واسط توده‌ی گرانیتی قرار دارند. هم سیال‌های ماقمایی و هم سیال‌های گرمایی در تشکیل این تورمالین‌ها نقش داشته‌اند. گستره‌ی C نشان دهنده‌ی تورمالین‌های دور از توده‌ی گرانیتی است و اشاره به خاستگاه خارجی بور وجود یک سیستم گرمایی دارد.



شکل ۷ جایگاه تورمالین‌های مورد بررسی بر نمودارهای سه‌تایی $\text{Ca}-\text{Fe}-\text{Mg}$ و $\text{Al}_{50}\text{Mg}_{50}\text{Fe}_{(\text{tot})50}-\text{Al}-\text{Mg}$ [۲۸] گرانیتوئیدهای غنی از لیتیم، پگماتیت‌ها و آپلیت‌های وابسته به آن‌ها، ۲- گرانیتوئیدهای فقیر از لیتیم، پگماتیت‌ها و آپلیت‌های وابسته به آن‌ها، ۳- سنگ‌های کوارتز-تورمالین سرشار از Fe^{+3} ، ۴- متاپلیت‌ها و متاپسامیت‌های همیزیست با یک فاز اشباع از آلومینیوم، ۵- متاپلیت‌ها و متاپسامیت‌های ناهمیزیست با یک فاز اشباع از آلومینیوم، ۶- سنگ‌های آهکی‌سیلیکاتی، متاپلیت‌ها و سنگ‌های کوارتز-تورمالین سرشار از Fe^{+3} ، ۷- اولترامافیک‌های دگرگون شده با کلسیم پایین و ته نشست‌های دگرگون شده غنی از وانادیم و کروم، ۸- متاکربنات‌ها و متاپروکسنیت‌ها، ۹- سنگ‌های کالک‌سیلیکاتی، متاپسامیت‌ها و متاپلیت‌های غنی از Ca، ۱۰- سنگ‌های کوارتز-تورمالین، متاپسامیت‌ها و متاپلیت‌های فقیر از Ca، ۱۱- متاکربنات‌ها، ۱۲- فرامافیک‌های دگرگون شده.

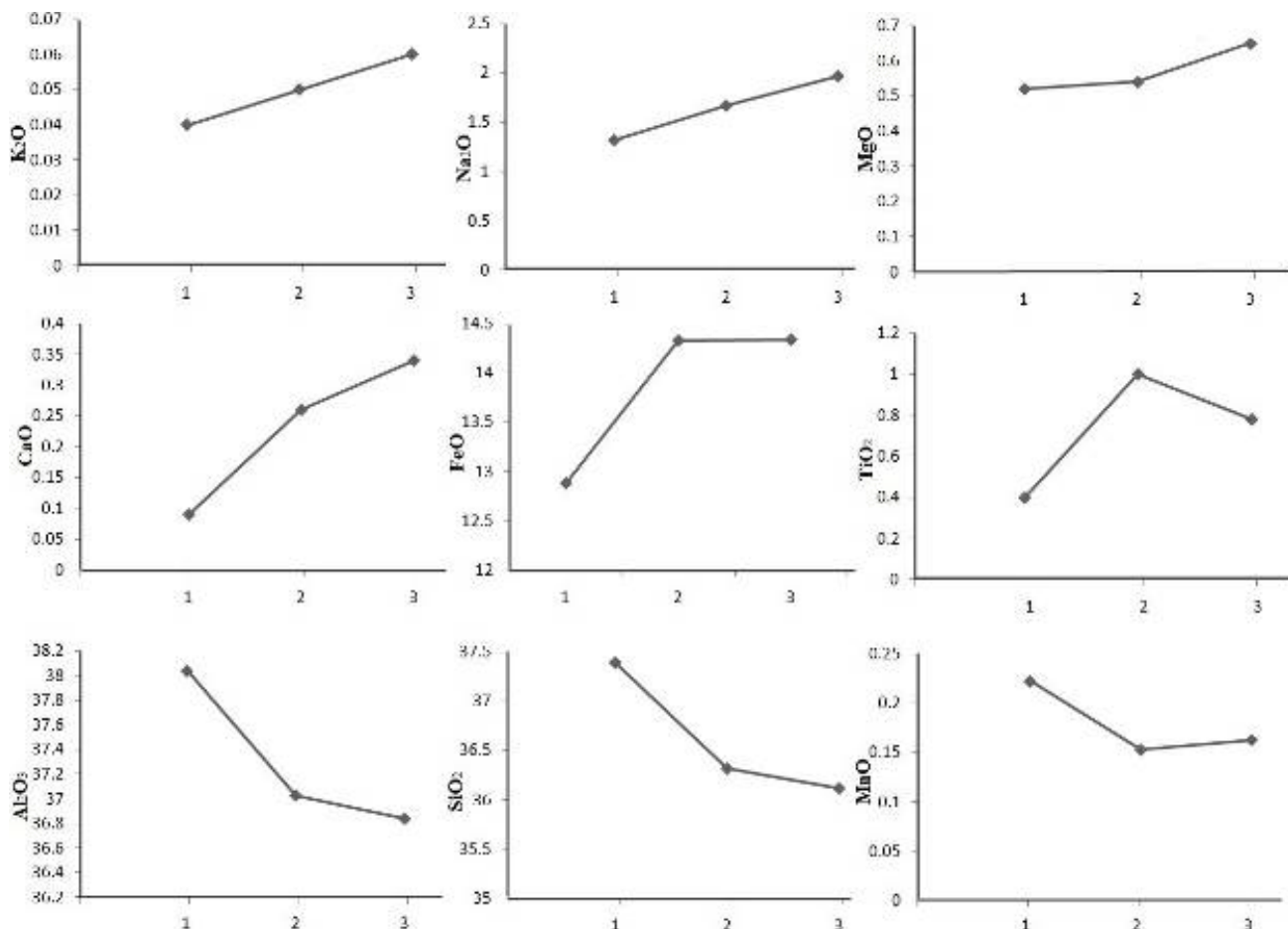
درشت بلور موجود در مرکز دایک، می‌توان نتیجه گرفت که سیستم تشکیل این دایک‌ها بسته بوده و علت تشکیل تورمالین‌های دارای منطقه بندی تغییرات متناوب دما و فشار در مخزن ماقمایی طی تبلور است.

شیمی فلدسپارها

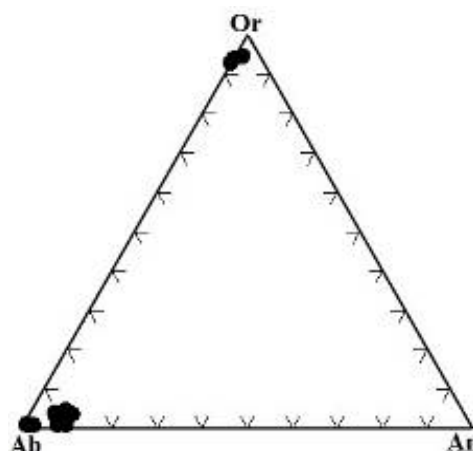
نمونه‌های فلدسپار موجود در آپلیت-پگماتیت‌های منطقه، سیمین تجزیه شدند که نتایج بدست آمده در جدول‌های ۳ و ۴ آورده شده است. محاسبه فرمول ساختاری آنها بر پایه ۸ اتم اکسیژن و به روش مرجع [۲۹] انجام شد که بر این اساس، پلازیوکلارهای منطقه دارای ترکیب غالب آلبیت (Ab_{90-100}) و فلدسپارهای پتاسیم نیز دارای ۹۷-۹۲٪ درصد فلدسپار پتاسیم (Kf_{92-97}) هستند (شکل ۹). این امر نشان‌دهنده پیشرفت تبلور جدایشی در ماقمای واپسی است.

منطقه بندی در تورمالین‌ها

تورمالین‌های موجود در آپلیت-پگماتیت‌های مورد بررسی دارای منطقه‌بندی نمایانی هستند. این منطقه‌بندی هم در مقاطع میکروسکوپی (شکل‌های ۳ الی ۶) و هم در نتایج تجزیه‌های انجام شده از مرکز به سمت لبه بلورها کاملاً مشهود است. نمونه‌ای از تجزیه‌های انجام شده و روند تغییرات عنصر از مرکز به سمت لبه در تورمالین‌های مورد بررسی در شکل ۸ دیده می‌شود که مقادیر O , MgO , Na_2O , K_2O , Al_2O_3 و SiO_2 روند نزولی دارند. منطقه‌بندی در تورمالین‌ها نشان دهنده تغییرات ناگهانی دما، فشار و ترکیب شیمیابی سیال و یا تبلور غیر عادی سریع تورمالین در سیستم‌های باز است [۲۳]. با توجه به روند ساختی دیده شده از لبه به سمت مرکز در این دایک‌ها ساختهای نواری، گرافیکی، رشد عمود بر دیواره، ساختهای



شکل ۸ تغییرات اکسیدها در تورمالین‌های دارای منطقه بندی مربوط به منطقه سیمین (ترتیب نقاط از ۱ تا ۳ از مرکز بلور به سمت لبه بلور می‌باشد).



شکل ۹ ترکیب فلدسپارهای مورد بررسی موجود در آپلیت‌های منطقه سیمین.

وابسته محسوب می‌شوند. از آنجاکه عناصر Rb و Cs هر دو ناسازگار هستند، با پیشرفت تبلور جدایشی در ماقما، مقدار آنها افزایش می‌یابد و چون با پیشرفت تبلور جدایشی در ماقما، مقادیر K/Rb و K/Cs هر دو کاهش می‌یابند، نسبت به هم دارای هم بستگی مثبت هستند (مقدار ضریب هم بستگی آنها در نمونه‌های مورد بررسی ۰/۴۴ است).

بحث

تورمالین‌های ماقمایی اغلب نسبت به تورمالین‌های گرمابی خود شکل هستند [۲۳]. تورمالین در اصل از ماقمایی گرانیتی نوع S که پرآلومین بوده و دارای مقدار B اولیه بیشتری هستند، در شرایط اسیدی (مقدار SiO_2 بالای ماقما) تشكیل می‌شوند. مقدار Al در تورمالین‌های گرمابی نسبت به تورمالین‌های ماقمایی کمتر است [۲۲] و مقدار کاستی در جایگاه X در تورمالین‌های گرمابی کمتر است [۲۰] (شکل ۵). براساس پژوهش‌های انجام شده در منطقه، پگماتیت‌ها و آپلیت‌های موجود از نظر ضریب اشباع از آلومینیوم پرآلومین هستند [۳۰]، بنابراین شرایط مورد نیاز برای تشکیل تورمالین‌های اولیه از ماقمایی مادر فراهم بوده است. در شکل‌های ۴ پ، ۵ پ و ۶، تورمالین‌های مورد بررسی در گستره‌ی ماقمایی قرار دارند.

پنج عنصر کلیدی که در بررسی‌های زمین‌شیمی فلدسپارها بیشتر در نظر گرفته می‌شوند K، Na، Si، Rb و Cs هستند [۲۱]. مقدار K و Na سدیمی و پتاسیمی بودن ترکیب فلدسپار را نشان می‌دهد. مقادیر بالای Si بیانگر حضور کوارتز در ساختار فلدسپار است و مقادیر بالای Rb و Cs نشان می‌دهد که این فلدسپارها بسیار جدایش یافته‌اند. از نظر سلوی و همکاران [۲۱] پگماتیت‌های بسیار جدایش یافته‌ی دنیا که دربردارنده فلدسپارهای پتابسیم درشت بلور هستند، دارای $\text{Rb} > 3000 \text{ ppm}$ ، $\text{Cs} > 100 \text{ ppm}$ و $\text{K/Rb} < 30$ هستند (جدول ۵). بر اساس مقدار اکسیدهای K_2O و Na_2O و نیز با توجه به شکل ۹، فلدسپارهای مورد بررسی در دو قطب غنی از آلبیت و غنی از فلدسپار پتابسیم قرار دارند. بیشترین مقدار Rb در فلدسپارهای مورد بررسی ۱۳۱۹ ppm می‌باشد و بیشترین مقدار Cs نیز ۲۰۵ ppm است (جدول ۵). کمترین مقدار K/Cs در فلدسپارهای سیمین ۱۰۶۴ و کمترین مقدار K/Rb نیز در آنها ۶۸۴/۸ است. در مقایسه با داده‌های موجود در جدول ۵، ترکیب فلدسپارهای موجود بین فلدسپارهای گرانیت زایا و پگماتیت دربردارنده عناصر کمیاب قرار دارد که بیانگر جدایش یافته‌گی ماقمای تشکیل دهنده‌ی این آپلیت-پگماتیت-هاست. مقادیر نسبت‌های K/Rb و K/Cs در فلدسپارها به عنوان معیاری برای تعیین میزان جدایش یافته‌گی ماقمای

جدول ۵ تمرکز عناصر ناسازگار در فلدسپارهای موجود در آپلیت-پگماتیت‌های منطقه سیمین در مقایسه با گرانیت و پگماتیت‌ها (مقادیر مربوط به نمونه‌های ستاره دار برگرفته از مرجع [۲۱] هستند).

پتابسیم فلدسپار موجود در	Rb (ppm)	Cs (ppm)	K/Rb
گرانیت نازا [×]	<۴۰۰	<۱۰	>۱۵۰
گرانیت زایا [×]	۵۰۰-۳۰۰۰	۲۰-۱۰۰	۳۰-۱۵۰
پگماتیت دربردارنده عناصر کمیاب [×]	>۳۰۰۰	>۱۰۰	<۳۰
سیمین	۰/۳۸-۱۳۱۹	۰/۰۳-۲۰۵	۱۰۶/۴-۲۲۶۰/۵

جدایش یافته‌گی ماقمای تشکیل دهنده‌ی این آپلیت-پگماتیت هاست.

برداشت

در دایک‌های موجود در منطقه سیمین همدان، ساختهای ماقمایی ویژه مربوط به دایک‌های آپلیتی-پگماتیتی به صورت نوعی دیده می‌شود. در این دایک‌ها، ساختهای نواری، رشد عمود بر دیواره تورمالین‌ها و بلورهای درشت پگماتیتی دیده می‌شود. شکل دار بودن تورمالین‌های تشکیل شده، بالا بودن مقدار $Fe/(Fe+Mg)$ در این نمونه‌ها (ترکیب شورل)، قرار گرفتن آنها در راستای بردارهای کمبود قیایی نشان دهنده خاستگاه ماقمایی آن‌هاست. همچنین همه‌ی تورمالین‌های مورد بررسی در نمودار $Fe\# = FeO/FeO+MgO$ در MgO در $FeO/(FeO+MgO)$ توodeh گرانیتی کمتر می‌شود. نسبت $FeO/(FeO+MgO)$ در تورمالین‌ها اگر در گستره‌ی ۱ تا ۰/۸ باشد نشانگر بسته بودن سیستم ماقمایی، قرار گرفتن تورمالین‌ها درون و در نزدیکی توodeh گرانیتی و دخالت نداشتن سیال‌های خارجی در تشکیل تورمالین‌هاست، قرار گرفتن این مقدار در گستره‌ی ۰/۶ تا ۰/۸ شاخص تورمالین‌هایی در فاصله‌ی نزدیک تا حد واسط نسبت به توodeh گرانیتی و نشان دهنده‌ی آن است که هم سیال‌های ماقمایی و هم سیال‌های گرمابی در تشکیل تورمالین‌ها نقش داشته‌اند؛ و در صورتی که مقدار $FeO/(FeO+MgO)$ کمتر از ۰/۶ باشد نشان دهنده‌ی تورمالین‌های با فاصله‌ی دور از توodeh گرانیتی است و اشاره به خاستگاه خارجی بور و وجود یک سیستم گرمایی دارد. بر این اساس، با توجه به قرار گرفتن تورمالین‌های مورد بررسی در گستره A، این تورمالین‌ها خاستگاه ماقمایی دارند (شکل ۶). ترکیب تورمالین‌های مورد بررسی بر نمودارهای سه تایی $Al_{50}Mg_{50}Al_{50}Fe_{(tot)50}-Al$ -Ca-Fe-Mg در گستره‌ی شورل دارد (شکل ۷). نمودارهای شکل ۷ نشان دهنده‌ی تغییرات Fe و Mg در مقادیر نسبتاً ثابت Al و Ca است. قرارگیری نمونه‌ها در بالای خط شورل-draoit نشان دهنده‌ی مقدار ناچیز Fe^{+3} در این نمونه‌ها است [۲۸]. بر اساس این نمودارها که سنگ منبع تورمالین را مشخص می‌کنند، نمونه‌های مورد بررسی، در گستره‌ی گرانیت‌وئیدهای فقیر از Li و پگماتیت‌ها و آپلیت‌های وابسته به آن قرار می‌گیرند. پلاژیوکلازهای مورد بررسی در این آپلیت-پگماتیت‌ها دارای ترکیب آلبیتی هستند که نشان دهنده‌ی پیشرفت تبلور جدایشی در ماقمای تشکیل دهنده است. در تورمالین‌های موجود، منطقه‌بندی هم در مقاطع میکروسکوپی و هم در نتایج تجزیه‌های انجام شده به خوبی مشهود است. در فلدسپارهای مورد بررسی، مقادیر بالای Rb/K/Rb (۱۳۹ ppm) و Cs (۲۰۵ ppm) و نسبت پایین K/Cs (۱۰۶/۴) و K/Cs (۶۸۴/۸) بیانگر جدایش یافته‌گی این نمونه‌هاست. همچنین در مقایسه با نمونه‌های مناطق دیگر دنیا، ترکیب فلدسپارهای موجود بین فلدسپارهای گرانیت زایا و پگماتیت دربردارنده عناصر کمیاب قرار می‌گیرد که بیانگر

قدرتانی

نویسنده‌گان مقاله از جنب آقای مهندس قلیزاده، کارشناس شرکت فرآوری مواد معدنی کرج و پروفسور دیوید لنتر، استاد دانشگاه نیوبونزویک کانادا، به خاطر همکاری شان در انجام تجزیه‌ها کمال تشكر و قدردانی را دارند.

مراجع

- [1] Jahns R.H., "The genesis of pegmatites. I. Occurrence and origin of giant crystals", American Mineralogist 38 (1953) 563-598.
- [2] Jahns R.H., Burnham C.W., "Experimental studies of pegmatite genesis: I. A model for the derivation and crystallization of granitic pegmatites", Economic Geology 64 (1969) 843-864.
- [3] Anderson G.M., Burnham C.W., "Feldspar solubility and the transport of aluminum under metamorphic conditions", American Journal of Science 283 (1983) 283-297.
- [4] Tagirov B., Schott J., Harrichourry J.C., Salvi, S., "Experimental study of aluminum speciation in fluoride-rich supercritical fluids",

- [18] Rosenberg P.E., Foit, F.F., "Synthesis and characterization of alkali-freetourmaline", American Mineralogist 64 (1979) 180-186.
- [19] Slack J.F., Palmer M.R., Stevens B.P.J., Barnes R.G., "Origin significance of tourmaline-rich rocks in the Broken Hill district, Australia", Economic Geology 88 (1993) 505-541.
- [20] Trumbull R.B., Chaussidon M., "Chemical and boron isotopic composition of megmatic and hydrothermal tourmalines from the Sinceni granite-pegmatite system in Swaziland", Chemical Geology 153 (1999) 125-137.
- [21] Selway J.B., Breaks, F.W., "Tindle, A.G., A Review of Rare-Element (Li-Cs-Ta) Pegmatite Exploration Techniques for the Superior Province, Canada, and Large Worldwide Tantalum Deposits", Exploration and Mining Geology 14 (2005) 1-30.
- [22] Torres-Ruiz J., Pesquera A., Gil-Crespo P.P., Vellila N., "Origin and petrogenetic implications of tourmaline-rich rocks in the Sierra Nevada (Betic Cordillera, southeastern Spain)", Chemical Geology 197 (2003) 55-86.
- [23] Manning D.A.C., "Chemical and morphological variation in tourmalines from the Hub Kapong batholith of Peninsular Thailand", Mineralogical Magazine 45 (1982) 139-147.
- [24] London D., Manning D.A.C., "Chemical Variation and Significance of tourmaline from southwest England", Economic Geology 90 (1995) 495-519.
- [25] Pesquera A., Velasco F., "Mineralogy, geochemistry and geological significance of tourmaline-rich rocks from the Paleozoic Cinco Villas massif (western Pyrenees, Spain)", Contributions to Mineralogy and Petrology 129 (1997) 53-74.
- [26] Pesquera A., Torres-Ruiz J., Gil-Grespo P. P., Vellila N., "Chemistry and genetic implications of tourmaline and Li-F-Cs micas from the Valdeflores area (Caceres, Spain)", American Mineralogist 84 (1999) 55-69.
- [27] Pirajno F., Smithies R.H., "The $FeO/(FeO+MgO)$ ratio of tourmaline: A useful indicator of spatial variations in granite-related hydrothermal mineral deposits", Journal of Geochemical Exploration 42 (1992) 371-381.
- [28] Henry D.J., Guidotti Ch.V., "Tourmaline as petrogenetic indicator mineral: an example from staurolite-grade metapelites of NW Mains", American Mineralogist 70 (1985) 1-15.
- [29] Deer W.A., Howie, A., Zussman J., "An introduction to the rock-forming minerals", Longman, London (1991) 528p.
- [30] Tabrizi M., "The role of dykes and late-stage veins in the evolution of the Alvand Plutonic", MSc thesis, Bu-Ali Sina University, Hamedan, Iran (2013) .171p (in Persian).
- Geochimica et Cosmochimica Acta 66 (2002) 2013-2024.
- [5] London D., "Pegmatites", Canadian Mineralogist Special Publication 10 (2008) 368 pp.
- [6] Frahpour M., "Petrofabric analysis of regional metamorphic rocks from east of Hamedan batholith", MSc thesis, Tarbiat Modares University, Tehran, Iran (1997). 120p (in Persian).
- [7] Jafari S. R., "Petrology of migmatites and plutonic rocks from south of Simin area (Hamedan)", MSc thesis, Bu-Ali Sina University, Hamedan, Iran (2006). 156p (in Persian).
- [8] Molaei Yeganeh T., "A study of controlling factors for irregular distribution of kyanite in the metamorphic and plutonic rocks of the Hamedan area", MSc thesis, Bu-Ali Sina University, Hamedan, Iran (2009). 135p (in Persian).
- [9] Izadikian L., "Structural and petrofabric analysis of metamorphic rocks of Alvand mountain (south and southwest of Hamadan)", Ph.D. Thesis in tectonic, Shahid Beheshti university, Tehran, Iran (2009). 157 (in Persian).
- [10] Sepahi A. A., Salami, S., Tabrizi M., "Geochemistry of tourmalines in aplitic and pegmatitic dikes from Alvand plutonic and metamorphic rocks of the Hamedan area", Iranian Journal of Crystallography and Mineralogy. 3 (2014) 495-506 (in Persian).
- [11] Amidi M., Majidi B., "Explanatory Text of Hamadan Quadrangle Map Scale 1:250,000. Geology Survey of Iran", (1977).
- [12] Mohajel M., Sahandi M., "Tectonic evolution of Sanandaj-Sirjan zone at the northwest part and introduce new subzone", Scientific Quarterly Journal of Geoscience. 31-32 (1999) 2001.
- [13] Izadikian L., Alavi A., Mohajel M., "Structural analysis of the Simin-Darreh Moradbeik shear zone, south of Hamedan", Iranian Journal of Geosciences 75 (2010) 39-46 (in Persian).
- [14] Jafari S. R., "Petrology of high grade metamorphic rocks in Hamedan and adjacent areas in Sanandaj-Sirjan Zone". Ph.D. thesis, Bu-Ali Sina University, Hamedan, Iran (2018). 201p (in Persian).
- [15] London D., "The origin of primary textures in granitic pegmatites", Canadian Mineralogist 47 (2009) 697-724.
- [16] Hawthorne F.C., Henry D.J., "Classification of the minerals of the tourmaline group", European Journal of Mineralogy 11 (1999) 201-215.
- [17] Collines A.C., "Mineralogy and geochemistry of tourmaline in contrasting hydrothermal system, Coplapo area, Northern Chile", Ph.D. Thesis, University of Arizona, United States (2010). 225p.